

## § A Função de Onda Macroscópica de um condensado de Bose-Einstein: definição do Parâmetro de Ordem

Os resultados obtidos no cálculo das funções de distribuição reduzidas, com a matriz densidade de 1-partícula e de 2-partículas, para um 'gás' de bósons, mostram a existência de ordem não-diagonal de longo alcance (ODLRO) na fase condensada para a matriz reduzida de 1-partícula:

$$\begin{aligned} \langle x_1' | W_1 | x_1 \rangle &= \text{Tr} \left\{ g^+ \psi_{(x_1)}^+ \psi_{(x_1')}^- \right\} = \\ &= \left[ \psi_{(x_1)}^+ \psi_{(x_1')}^- \right], \end{aligned} \quad (1)$$

com

$$\begin{aligned} \langle x_1' | W_1 | x_1 \rangle &= G(|x_1' - x_1|) = G(R) = \\ &= \overline{n}_0 + \frac{\overline{n}}{\zeta(3/2)} \left( \frac{\Lambda}{R} \right) \xrightarrow{|x_1' - x_1| \rightarrow \infty} \overline{n}_0, \end{aligned} \quad (2)$$

onde  $\overline{n}_0$  é a densidade (macroscópica) de partículas ocupando o estado de mais baixa energia (partícula livre corresponde a  $\left( \frac{e^{i\vec{k} \cdot \vec{x}}}{\sqrt{V}} \right)_{\vec{R}=0} = \frac{1}{\sqrt{V}}$ )

Penrose + Onsager (Phys. Rev. 104, 576 (1956))

Sugiram que o resultado anterior deve ser entendido como definindo o 'Parâmetro de Ordem' do Condensado através de uma função de onda macroscópica, resultado da coerência de longo alcance:

P-Q :

$$\left[ \Psi^+(x_1) \Psi(x_1) \right] \xrightarrow{|x_1' - x_1| \rightarrow \infty} \Psi^*(x_1) \Psi(x_1'), \quad (3)$$

com  $\Psi^*(x_1) \Psi(x_1') = \bar{n}_0$ , no caso de partícula livre.

► Def. Parâmetro de Ordem

$$\Psi(x) = \left[ \Psi(x) \right] = R(x) e^{i\theta(x)}, \quad (4)$$

onde  $R(x) = |\Psi(x)|$

Esta definição é generalizada para casos que incluem potenciais dependentes do tempo e interações entre os bósons:

$$\left[ \Psi^+(x_1, t) \Psi(x_1', t) \right] \xrightarrow{|x_1' - x_1| \rightarrow \infty} \Psi^*(x_1, t) \Psi(x_1', t) \quad (5)$$

O Parâmetro de Ordem (PO) é a grandeza conveniente que da informação sobre o grau de condensação e sobre o estado de uma partícula  $\Psi_A(\vec{x}, t)$  onde acontece a condensação. Uma definição alternativa consistente com as propriedades de ODLRO é

$$\Psi(\vec{x}, t) = e^{i\phi} \sqrt{N_0(t)} \Psi_A(\vec{x}, t), \quad (6)$$

com normalização dada por

$$\int d^3x \Psi^* \Psi = \overline{N_0(t)} \underbrace{\int d^3x |\Psi_A(\vec{x}, t)|^2}_1 = \overline{N_0(t)}, \quad (7)$$

onde  $\overline{N_0(t)}$  é o número de partículas no condensado. Note que para partícula livre,

$$\Psi_A(\vec{x}, t) = \left( \frac{1}{\sqrt{V}} e^{i\vec{k} \cdot \vec{x}} \right)_{\vec{k}=0} = \frac{1}{\sqrt{V}},$$

obtendo:

$$\Psi^*(\vec{x}) \Psi(\vec{x}) = \overline{N_0} \cdot \frac{1}{V} = \overline{n_0}, \quad (8)$$

consistente com (2) sobre ODLRO. Uma chave sobre a origem do parâmetro de ordem pode ser obtida a partir de um tratamento de CAMPO MÉDIO (Hartree).

Nesta aproximação supomos que o sistema condensa num estado  $\langle \tilde{\chi} | \tilde{\alpha} \rangle = \varphi_{\alpha}(\tilde{x})$  (não consideramos por enquanto potenciais dependentes do tempo). O estado fundamental é proposto como:

$$|CB\rangle = \frac{(\alpha_2^+)^N}{\sqrt{N!}} |0\rangle , \quad (9)$$

com  $\alpha_2^+ |0\rangle = |\alpha\rangle$ . O estado (9) é um estado totalmente simétrico (bósons):

$$\Phi_{\alpha}(x_1, x_2, \dots, x_N) = \varphi_{\alpha}(x_1)\varphi_{\alpha}(x_2)\dots\varphi_{\alpha}(x_N)$$

escrito como um produto de estados de 1-partícula (Hartree). O estado do condensado  $\varphi_{\alpha}(x)$  ainda não está determinado. Também supomos que a condensação é completa em  $|\alpha\rangle$ .

Um tratamento mais geral, consideraria o caso de condensação parcial e coexistência de fases:

$$\bar{n}_0 + \bar{n}' = \bar{n}$$

Tratamos aqui o caso mais simples de  $\bar{n}'=0$ .

Queremos determinar o 'orbital'  $|2\rangle$  usando um método variacional.

O Hamiltoniano interagente tem a mesma forma que aquele analisado para férniões:

$$\mathcal{H} = \mathcal{H}_0 + \mathcal{H}_I = \sum_{i,j} h_{ij} a_i^+ a_j + \\ + \frac{1}{2} \sum_{\substack{i,j,k,l \\ i \neq j, k \neq l}} \langle ij | U | kl \rangle a_i^+ a_j^+ a_k a_l$$

Calculamos médias para o estado condensado de Bose  $|CB\rangle$  de (4). Primeiro, para o termo de 1-partícula:

$$\langle CB | \mathcal{H}_0 | CB \rangle = \sum_{i,j} h_{ij} \langle CB | a_i^+ a_j | CB \rangle = \sum_{i,j} h_{ij} \delta_{ii} \delta_{jj}$$

$$\begin{aligned} & \langle CB | a_2^+ a_2 | CB \rangle \\ &= N h_{22} \\ &= N \int d\vec{x} \varphi_2^*(\vec{x}) \left\{ -\frac{\hbar^2}{2m} \nabla^2 + U(\vec{x}) \right\} \varphi_2(\vec{x}) . \end{aligned}$$

► Def. Função de onda do condensado,  $\Psi(\vec{x})$

$$\Psi(\vec{x}) \equiv \sqrt{N} \varphi_2(\vec{x})$$

A função  $\Psi$  é normalizada para o número de partículas

$$\int d\vec{x} |\Psi(\vec{x})|^2 = N,$$

de maneira que  $|\Psi(\vec{x})|^2$  representa a densidade do condensado de Bose. Expressamos os valores médios em termos de  $\Psi$ :

$$\langle CB | \mathcal{H}_0 | CB \rangle = \int d\vec{x} \Psi^*(\vec{x}) \left\{ -\frac{\hbar^2}{2m} \nabla^2 + U(\vec{x}) \right\} \Psi(\vec{x}).$$

Calculamos agora os valores médios para a interação:

$$\langle CB | \mathcal{H}_I | CB \rangle = \frac{1}{2} \sum_{ij,kl} V_{ij,kl} \langle CB | a_i^+ a_j^+ a_k a_l | CB \rangle$$

Temos uma única possibilidade de elementos de matriz não nulos:

$$i=j=\lambda, l=k=\lambda, \text{ com}$$

$$a_\lambda^+ a_\lambda^+ a_\lambda a_\lambda = a_\lambda^+ \{a_\lambda a_\lambda^+ - 1\} a_\lambda = N_\lambda^2 - N_\lambda^2 \cancel{,},$$

fornecendo:

$$\langle CB | a_\lambda^+ a_\lambda^+ a_\lambda a_\lambda | CB \rangle = N(N-1) .$$

Resultado:

$$\langle CB | \mathcal{H}_I | CB \rangle = \frac{1}{2} N(N-1) V_{\lambda\lambda, \lambda\lambda} ,$$

onde:

$$V_{\lambda\lambda, \lambda\lambda} = \int d\vec{x} \int d\vec{x}' \varphi_\lambda^*(\vec{x}) \varphi_\lambda^*(\vec{x}') V(\vec{x}-\vec{x}') \varphi_\lambda(\vec{x}) \varphi_\lambda(\vec{x}')$$

e em termos da função do condensado:

$$\begin{aligned}\langle CB | \hat{H}_I | CB \rangle &= \frac{1}{2} \left(1 - \frac{1}{N}\right) \int d\vec{x} \int d\vec{x}' \Psi^*(\vec{x}) \Psi^*(\vec{x}') V(\vec{x} - \vec{x}') \Psi(\vec{x}) \Psi(\vec{x}') \\ &= \frac{1}{2} \left(1 - \frac{1}{N}\right) \int d\vec{x} \int d\vec{x}' |\Psi(\vec{x})|^2 V(\vec{x} - \vec{x}') |\Psi(\vec{x}')|^2.\end{aligned}$$

Com as mesmas hipóteses de antes, esse termo pode ser avaliado para o pseudo-potencial:

$$\begin{aligned}&\int d\vec{x} \int d\vec{x}' |\Psi(\vec{x})|^2 \frac{4\pi a \hbar^2}{m} \stackrel{(3)}{\delta}(\vec{x} - \vec{x}') |\Psi(\vec{x}')|^2 \\ &= \frac{4\pi \hbar^2}{m} a \int d\vec{x} |\Psi^*(\vec{x})|^2 |\Psi(\vec{x})|^2,\end{aligned}$$

onde  $a$  é o 'scattering length':

$$\langle CB | \hat{H}_I | CB \rangle = \frac{1}{2} \left(1 - \frac{1}{N}\right) \left(\frac{4\pi \hbar^2}{m}\right) a \int d\vec{x} |\Psi(\vec{x})|^2$$

Deveremos incluir também o termo  $-E \int d\vec{x} |\Psi(\vec{x})|^2$   
para levar em conta a normalização do estado  $\Psi$ .

Precisamos minimizar o funcional:

$$\begin{aligned}F[\Psi, \Psi^*] &= \langle CB | \hat{H}_0 | CB \rangle + \langle CB | \hat{H}_I | CB \rangle - \\ &- E \int d\vec{x} |\Psi(\vec{x})|^2\end{aligned}$$

## Comentário.

O comprimento de espalhamento, ' $a$ ' (scattering length) é definido como:

$$a = \frac{m}{4\pi\hbar^2} V_0, \text{ com } V_0 = \int d^3x V(\vec{x}),$$

para potenciais de alcance finito.

O mesmo resultado pode ser obtido usando a aproximação do pseudo-potencial (Huang + Yang, 1957)

$$V(\vec{x}-\vec{x}') = \frac{2\pi a}{m/2} \hbar^2 \delta^{(3)}(\vec{x}-\vec{x}'),$$

pois de fato:

$$V_0 = \int d^3x V(\vec{x}) = \frac{4\pi a}{m} \hbar^2,$$

' $a$ ' é uma medida do alcance do potencial (da ordem do raio da esfera, para o modelo de espalhamento por esferas duras).

Assumimos neste caso que tratamos um gás diluído, onde a distância média entre partículas é muito maior que ' $a$ ':

$$a^3 \bar{m} \ll 1.$$

Assumimos aqui que  $a > 0$ , para interações repulsivas.

é representa um multiplicador de Lagrange, para levar em conta que o número de partículas é constante:

$$\int d^3x \Psi^* \Psi = N.$$

Se  $E = E(N)$  é a energia total, temos a relação:

$$\epsilon = \frac{\partial E(N)}{\partial N}$$

Escrevendo tudo em termos da função de onda  $\Psi$ :

$$F[\Psi, \Psi^*] =$$

$$= \int d\vec{x} \left\{ \Psi^*(\vec{x}) \left[ -\frac{\hbar^2}{2m} \nabla^2 + U(\vec{x}) \right] \Psi(\vec{x}) + \right.$$

$$\left. + \frac{1}{2} \left( 1 - \frac{1}{N} \right) \left( \frac{4\pi\hbar^2}{m} \right) a \Psi^{*2}(\vec{x}) \Psi^2(\vec{x}) - \epsilon \Psi^*(\vec{x}) \Psi(\vec{x}) \right\}$$

$$= \int d\vec{x} L(\Psi, \Psi^*, \nabla\Psi, \nabla\Psi^*) , \quad \text{onde temos identificado a 'densidade lagrangiana' } L.$$

O processo variacional fornece eq.'s de Euler-Lagrange para os 'campos'  $(\Psi, \Psi^*)$ . Variando  $\Psi^*$ , obtemos a equação para  $\Psi$ :

$$-\nabla \cdot \frac{\delta L}{\delta \nabla \Psi^*} + \frac{\delta L}{\delta \Psi^*} = 0 ,$$

que conduz a:

$$-\frac{\hbar^2}{2m} \nabla^2 \Psi(\vec{x}) + [U(\vec{x}) - \epsilon] \Psi(\vec{x}) +$$

$$+ \left( 1 - \frac{1}{N} \right) \frac{4\pi\hbar^2}{m} a |\Psi(\vec{x})|^2 \Psi(\vec{x}) = 0 ,$$

onde o 'campo médio'  $V_{ef}$  depende da própria função  $\Psi$ :

$$V_{ef} \equiv \left( 1 - \frac{1}{N} \right) \frac{4\pi\hbar^2}{m} a |\Psi(\vec{x})|^2 \approx \frac{4\pi\hbar^2}{m} a m(\vec{x}) ,$$

para  $N$  grande ( $N \gg 1$ ).

A equação obtida para o condensado leva o nome de 'Equação de Gross-Pitaevskii' :

$$\left\{ -\frac{\hbar^2}{2m} \nabla^2 + U(\vec{z}) + \frac{4\pi\hbar^2 a}{m} |\Psi(\vec{z})|^2 \right\} \Psi(\vec{z}) = \varepsilon \Psi(\vec{z}).$$

Aqui, o parâmetro  $\varepsilon$  pode ser identificado com o potencial químico, pois representa a energia necessária para adicionar uma partícula ao condensado.

A equação acima é uma eq. não-linear que possui soluções solitônicas.

Quando o termo não linear é muito maior que a energia cinética, e para  $\varepsilon - U(z) > 0$ , podemos aproximar o perfil do condensado por:

$$|\Psi(\vec{z})|^2 = \begin{cases} \frac{m}{4\pi\hbar^2 a} [\varepsilon - U(z)], & \varepsilon - U > 0, \\ 0, & \text{para } \varepsilon - U < 0. \end{cases}$$

Esta aproximação corresponde ao modelo de Thomas-Fermi. É uma aproximação boa para condensados com  $10^6$  átomos ou mais. Na expressão acima,  $U(z)$  é o potencial confinante. Se for um potencial de oscilador harmônico, o perfil da densidade cai como uma parábola invertida. Na ausência de potencial ( $U \equiv 0$ ), a densidade é uniforme, a menos de efeitos de superfície na borda do condensado:

A eq. de Gross-Pitaevskii pode ser escrita em termos do orbital  $\varphi_\lambda(x)$ , como:

$$-\frac{\hbar^2}{2m} \nabla^2 \varphi_\lambda(x) + U(x) \varphi_\lambda(x) + (N-1) \frac{4\pi a^2 \hbar^2}{m} |\varphi_\lambda(x)|^2 \varphi_\lambda(x) = \varepsilon \varphi_\lambda, \quad (*)$$

que é uma eq. de Schrödinger não linear para  $\varphi_\lambda$ . O termo não linear representa um potencial efetivo da interação com os  $(N-1)$  bósons restantes. Esse fator  $(N-1)$ , não muito conveniente, é removido com a definição de  $\Psi(x) = \sqrt{N} \varphi_\lambda(x)$ , da 'grande função de onda'.

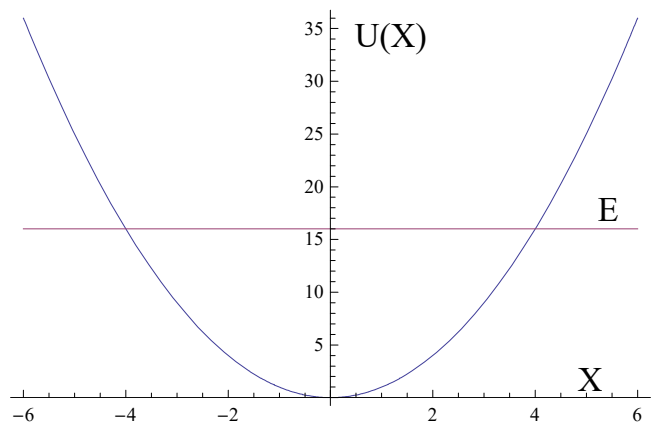
A eq. (\*) para o orbital pode ser generalizada para o caso não estacionário, quando o potencial confinante  $U(x,t)$  depende explicitamente do tempo:

$$i\hbar \frac{\partial \varphi_\lambda(x,t)}{\partial t} = -\nabla^2 \frac{\hbar^2}{2m} \varphi_\lambda(x,t) + U(x,t) \varphi_\lambda(x,t) + (N-1) \frac{4\pi a^2 \hbar^2}{m} |\varphi_\lambda(x,t)|^2 \varphi_\lambda(x,t)$$

```
U[x_] = x^2
Plot[{U[x], 16.}, {x, -6., 6.}]
```

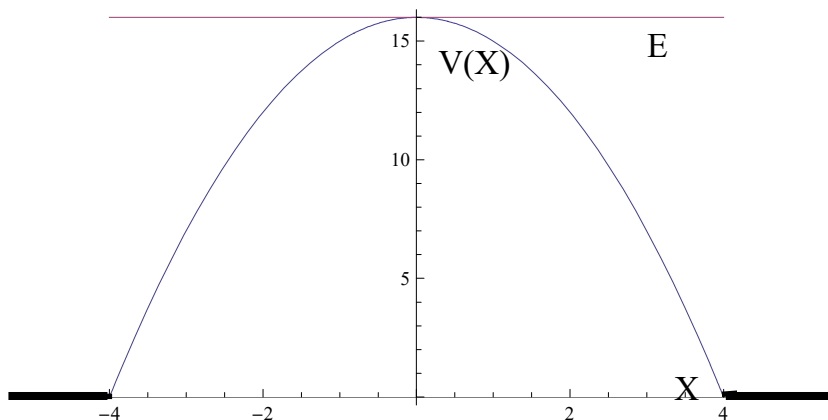
```
V[A_, x_] = A - x^2
```

```
Out[3]= x^2
```



```
A - x^2
```

```
Plot[{V[16., x], 16.}, {x, -4., 4.}]
```



$$|\Psi|^2 = \frac{m\varepsilon}{4\pi^2\hbar^2 a}$$

A normalização fornece:

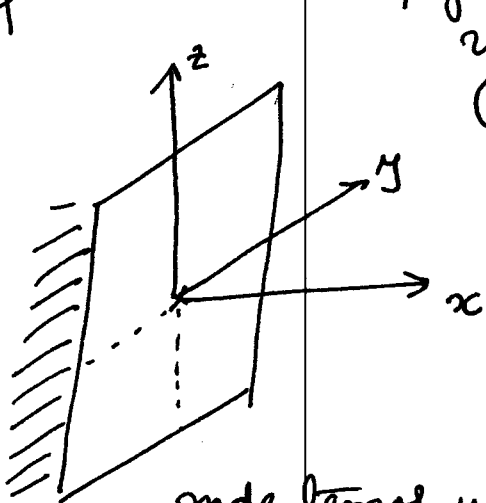
$$N = \int d\vec{x} |\Psi|^2 = \frac{m\varepsilon}{4\pi^2\hbar^2 a} V ,$$

de onde tiramos o potencial químico:

$$\varepsilon = \frac{4\pi^2\hbar^2}{m} a m , \quad n = \frac{N}{V}$$

Sem interações,  $a \equiv 0 \Rightarrow \varepsilon = 0$ .

Perto de uma interface, não podemos negligenciar o termo da energia cinética. Longe da interface, esperamos que a densidade seja constante e uniforme. Supondo uma interface planar, no plano ( $y-z$ ) (o condensado no semi-espaco  $x \geq 0$ ),



a eq. de G-P é reduzida a 1-dim:

$$\frac{\hbar^2}{2m} \frac{d^2}{dx^2} \Psi + \frac{4\pi^2\hbar^2 a}{m} (n - |\Psi|^2) \Psi = 0 ,$$

onde temos usado o resultado  $\varepsilon = \frac{4\pi^2\hbar^2 a}{m} n$ .

Simplificando constantes:

$$\frac{d^2}{dx^2} \Psi + 8\pi a (n - |\Psi|^2) \Psi = 0 \quad (\square)$$

Fato curioso: não depende mais de  $\hbar$  nem de  $m$  (massa microscópica). Isso sugere que (a) é uma equação macroscópica?

A solução de (a) pode ser procurada, escrevendo a função de onda na forma:

$$\Psi = \Psi_0 f(x), \text{ com } |\Psi_0|^2 = m \times$$

e  $f(x)$  fornecendo o 'perfil' do condensado perto da interface. A função  $f$  deve satisfazer as condições:

$$\begin{aligned} f &\rightarrow 1, \text{ para } x \rightarrow +\infty, \\ f &\rightarrow 0, \text{ para } x \rightarrow -\infty. \end{aligned} \quad \left\{ \begin{array}{l} f \text{ real} \\ f \rightarrow 1, \text{ para } x \rightarrow +\infty \end{array} \right.$$

• Def. Escala de 'penetração',  $\xi$

$$\xi^2 = \frac{1}{8\pi am}$$

Obtemos então:

$$\xi^2 f'' + (1-f^2) f = 0$$

Multiplicando por  $f'$ , a eq. acima pode ser escrita como uma derivada total:

$$0 = \xi^2 f'' f' + f f' - f^3 f' = \frac{1}{2} \frac{d}{dx} \left\{ \xi^2 f'^2 + f^2 - \frac{1}{2} f^4 \right\}$$

$$\Rightarrow \xi^2 f'^2 + f^2 - \frac{1}{2} f^4 = A = \text{cte.}$$

a constante pode ser avaliada em  $x \rightarrow +\infty$ , onde  $f' = 0$   
e  $f \rightarrow 1$

$$1 - \frac{1}{2} = A = \frac{1}{2}$$

Assim:

$$\xi^2 \left( \frac{df}{dx} \right)^2 = \frac{1}{2} - f^2 + \frac{1}{2} f^4 = \frac{1}{2} (1 - f^2)^2,$$

com

$$\xi \left( \frac{df}{dx} \right) = \pm \frac{1}{\sqrt{2}} (1 - f^2)$$

Escolhemos a derivada positiva em  $x = 0$ :

$$\xi \frac{df}{dx} = \frac{1 - f^2}{\sqrt{2}} \Rightarrow \frac{df}{1 - f^2} = \frac{dx}{\xi \sqrt{2}}$$

Integrando:

$$\operatorname{Arctanh} f - \operatorname{Arctanh} f_0 = \frac{x}{\xi \sqrt{2}} - \frac{x_0}{\xi \sqrt{2}}$$

Usando a condição de contorno em  $x = 0$ , obtemos:

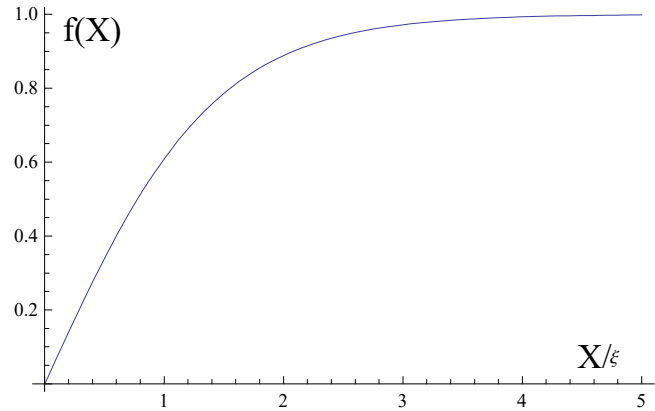
$$\operatorname{Arctanh} f = \frac{x}{\xi \sqrt{2}} \Rightarrow \boxed{f(x) = \tanh \left( \frac{x}{\xi \sqrt{2}} \right)}$$

Portanto, o perfil se estabiliza numa escala dada por  $\xi$ :

```
In[1]:= f[x_] = Tanh[x/Sqrt[2]]
```

```
Out[1]= Tanh[x/Sqrt[2]]
```

```
In[3]:= Plot[f[x], {x, 0., 5.}]
```



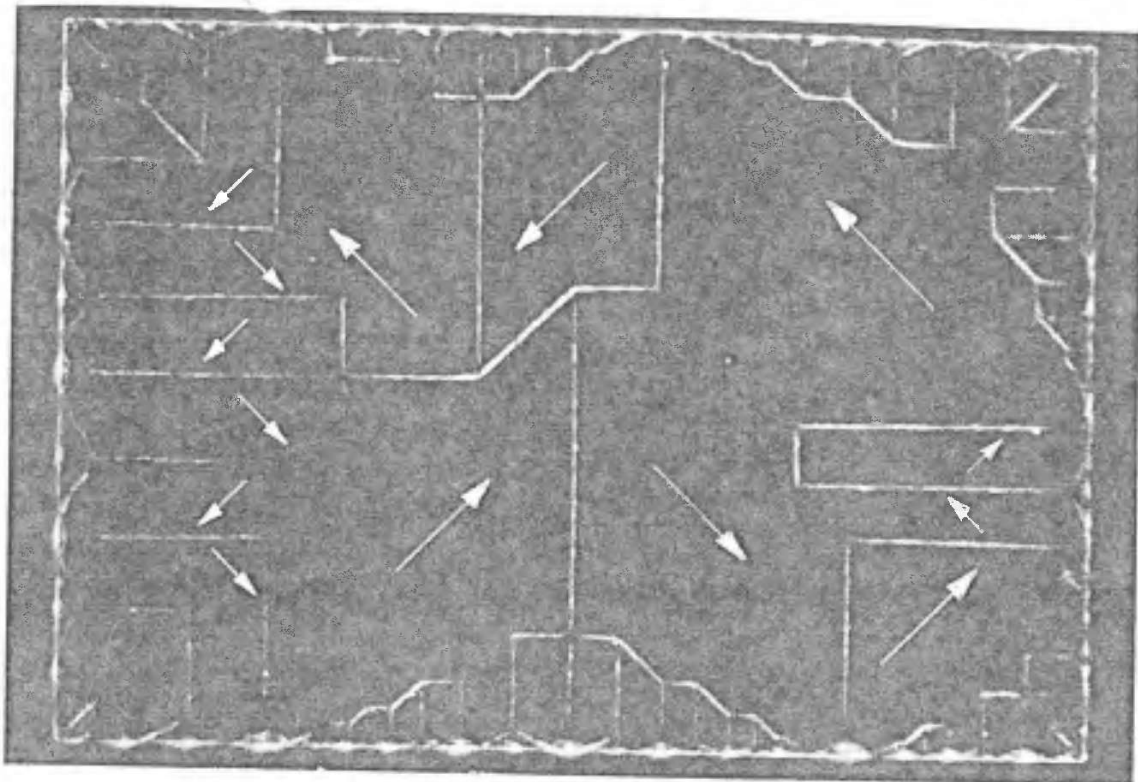


Figure 27 Ferromagnetic domain pattern on a single crystal platelet of nickel. The domain boundaries are made visible by the Bitter magnetic powder pattern technique. The direction of magnetization within a domain is determined by observing growth or contraction of the domain in a magnetic field. (After R. W. De Blois.)

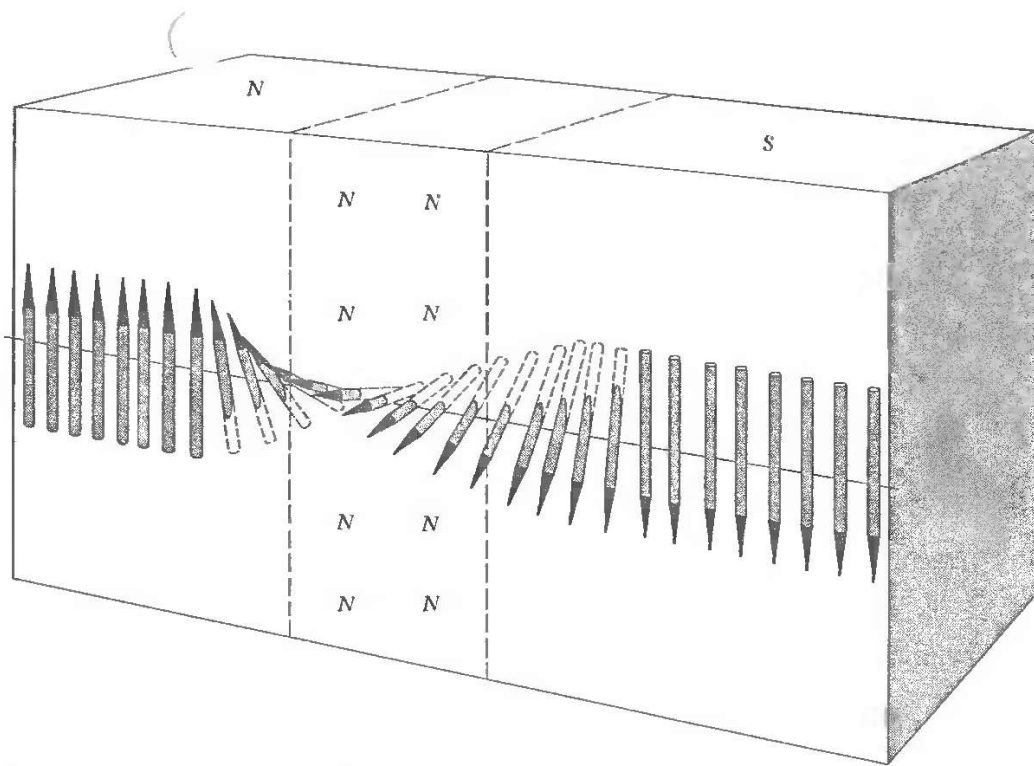


Figure 32 The structure of the Bloch wall separating domains. In iron the thickness of the transition region is about 300 lattice constants.

$$\xi^2 = \frac{1}{8\pi v a} = \frac{v}{8\pi a} = \frac{d^3}{8\pi a},$$

onde  $v = \frac{1}{m}$  é o volume por átomo e  $d$  é a distância entre átomos:

$$\xi = d \left( \frac{d}{8\pi a} \right)^{1/2} \Rightarrow \sqrt{2} \xi = d \left( \frac{d}{4\pi a} \right)^{1/2},$$

isto é,  $\xi\sqrt{2}$  é aproximadamente a largura do filme entre o condensado e o vácuo.

Para descrever propriedades dinâmicas, a Eq. de G.P tem sido generalizada como uma eq. de Schrödinger não-linear dependente do tempo, onde

$$\Psi(\vec{x}, t) = e^{-iE\vec{k}t/\hbar} \Psi(\vec{x}), \text{ para estados estacionários.}$$